

JUNIO 2021  
Vol.06

BOLETÍN MENSUAL  
VIGILANCIA DEL  
OZONO  
ATMOSFÉRICO EN LA  
ESTACIÓN VAG  
MARCAPOMACOCHA





## Introducción

Aunque se han logrado progresos en la disminución en el uso de sustancias agotadoras de ozono, también es cierto que el problema con nuestra capa de ozono está lejos de resolverse, mientras que los países continúan cooperando para abordarlo.

En enero 2020, una enmienda al Protocolo de Montreal la enmienda de Kigali, entró en vigor para reducir gradualmente la producción y el uso de los hidrofluorocarbonos (HFC), gases que habían reemplazado a los CFC's.

Aunque los HFC son solo una pequeña fracción de los gases de efecto invernadero, pueden ser cientos o miles de veces más potentes que el dióxido de carbono los que pueden contribuir al cambio climático. Al firmar la enmienda de Kigali, los países se comprometieron a reducir la producción y el uso de HFC en más del 80%, durante los próximos 30 años evitando así el calentamiento en hasta el 0.5°C. Además, los esfuerzos continúan para abordar las emisiones ilegales de productos químicos que destruyen el ozono. Un estudio publicado en mayo 2019, identificó a las provincias del este de China como las principales fuentes de un aumento en una de esas sustancias, el CFC-11

Debido a estos procesos que ocurren en la atmósfera el Perú, como país miembro del Protocolo de Montreal, viene reduciendo poco a poco el consumo de los productos químicos que destruyen la capa de ozono y además por intermedio del SENAMHI viene monitoreando el estado de la capa de ozono en la región central del país con la finalidad de alertar a la comunidad científica nacional e internacional sobre su variabilidad temporal y posible deterioro.

Asimismo, es importante no solo la información de superficie sino también la información proveniente de los satélites porque estamos ante un problema en evolución. Se requiere que estemos pendientes de forma constante.

\*\*\*\*\*

## ANTECEDENTES

El SENAMHI cuenta con la estación de Vigilancia Atmosférica Global (VAG) Marcapomacocha, ubicada en la sierra central del país (provincia de Yauli y departamento de Junín), asimismo, se encuentra a una altitud de 4,479 metros sobre el nivel del mar, a una latitud de 11°24'18"S y longitud de 76°19'31"O. Es una de las pocas estaciones a nivel mundial cercanas a la línea ecuatorial y en un medio natural megadiverso. A nivel sudamericano conjuntamente con las estaciones VAG de Natal (Brasil) y la recientemente Chacaltaya (Bolivia) son las que reportan información continua de las propiedades físicas y químicas de la atmósfera en esta parte del continente.

Las actividades de la estación VAG Marcapomacocha se enmarcan en las mediciones de la concentración de ozono total atmosférico en forma diaria realizadas con el Espectrofotómetro Dobson el cual contribuye con el Programa de Vigilancia de la Atmósfera Global – VAG de la Organización Meteorológica Mundial – OMM. Otras variables como la radiación ultravioleta, radiación solar global y parámetros meteorológicos también se vienen midiendo en dicha estación.

Con las mediciones realizadas desde 1964 en el Perú, se ha podido conocer el estado y evolución del espesor de la capa de ozono sobre el territorio peruano y en general sobre la porción de la atmósfera tropical sobre el continente sudamericano.

En el futuro la estación VAG Marcapomacocha también podrá realizar mediciones de dióxido de carbono (CO<sub>2</sub>) (gas de efecto invernadero) y carbono negro (hollín).

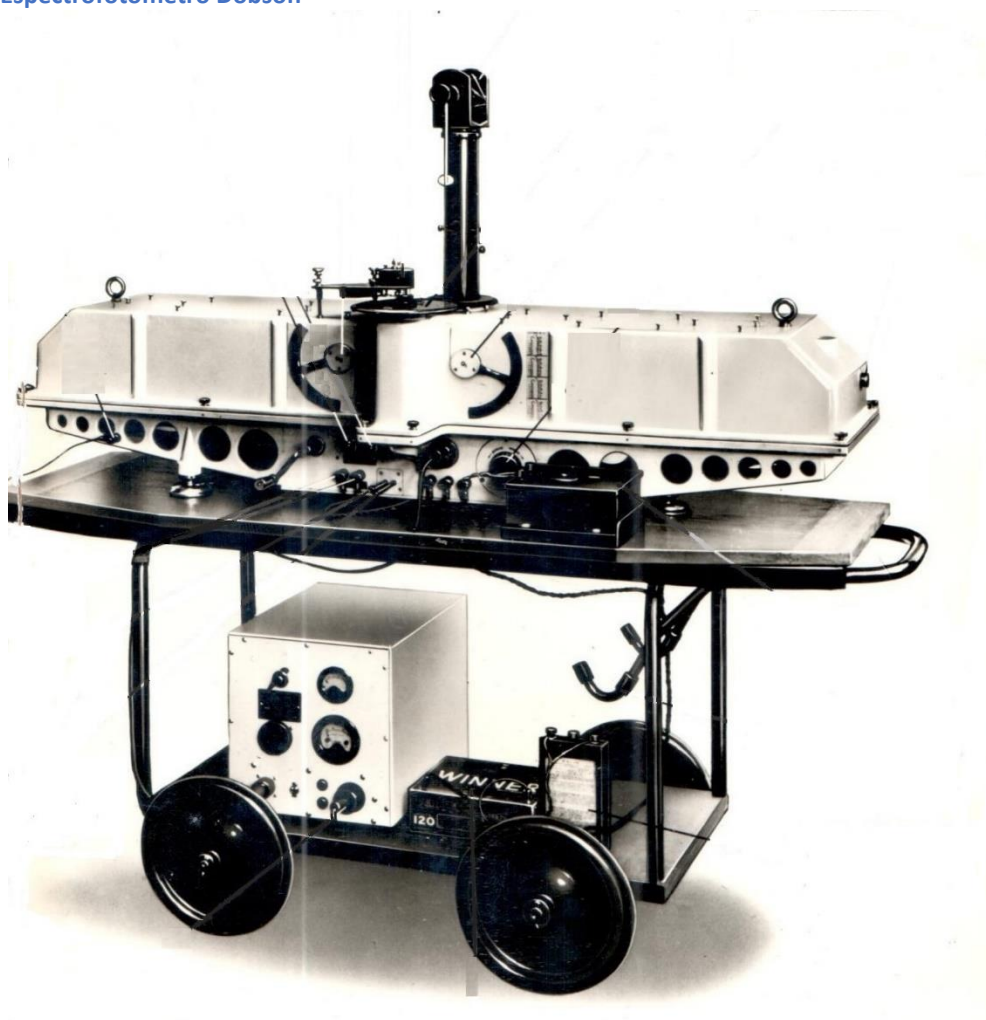
\*\*\*\*\*

# I. METODOLOGÍA DE CÁLCULO DEL OZONO ATMOSFÉRICO

## 1. MEDICIÓN EN SUPERFICIE

Con un instrumento denominado Espectrofotómetro Dobson (Figura 1), es posible realizar mediciones de la cantidad de ozono total atmosférico, en forma indirecta, ya que lo que se mide son las intensidades relativas, de un par de longitudes de ondas (LDO), seleccionadas de antemano, siendo estas generadas y emanadas por el sol o simplemente por el Zenith del cielo. Se llamarán a estas longitudes de ondas (LDO) seleccionadas, LDO: "A", "C" y "D".

**FIGURA N°1**  
Espectrofotómetro Dobson



La luz entra al instrumento a través de la ventana que se encuentra en la parte superior del mismo y este selecciona solo dos haces (de luz), esta selección se controla manualmente basándose en el método de diferencia de absorción en la banda ultravioleta de Huggins en donde el ozono presenta una fuerte absorción. El principio de la medida depende de la relación de intensidad de la

\*\*\*\*\*

luz del sol a dos longitudes de onda. La combinación de pares usados es a sol directo (doble par AD) de 305.5 nm ( $1\text{nm} = 10^{-9}\text{ m}$ ) a 325.4 nm y de 317.6 nm a 339.8 nm.

En el primer par, la primera longitud de onda (305.5 nm) es atenuada en la alta atmósfera por el ozono y reduce su intensidad al llegar a la superficie de la tierra, mientras que la segunda longitud de onda (325.4 nm) no es absorbida por el ozono, por lo tanto, a través de una diferencia comparativa de las intensidades, podemos determinar la cantidad de ozono atmosférico total.

## 2. MEDICIÓN DESDE SATÉLITE

Uno de los satélites que mide en forma continua la concentración de ozono es el AURA, el cual dispone de cuatro instrumentos para la medición de la tropósfera superior, estratósfera y mesósfera. El AURA lleva el sensor conocido como "instrumento de monitoreo de ozono" (OMI), el cual continúa recopilando información de ozono desde hace 34 años, estas mediciones comenzaron con el detector ultravioleta de retro dispersión (Backscatter Ultraviolet Detector, BUV) en 1970 y con el espectrómetro de representación de la distribución de ozono total (Total Ozone Mapping Spectrometer, TOMS) en 1978. El OMI mide la luz solar reflejada y retrodispersada en las porciones ultravioleta y visible del espectro. Las capacidades hiperespectrales del instrumento (recopilación y procesamiento de la información a lo largo de todo el espectro electromagnético) mejoran la precisión y exactitud de la cuantificación de las cantidades de ozono atmosférico total.

\*\*\*\*\*

## II. RESULTADOS

Cabe mencionar que el mes de junio presentó características térmicas inferiores al mes anterior, debido al inicio de la estación astronómica de invierno en el hemisferio austral. Los sistemas atmosféricos que mayormente gobiernan el tiempo sobre nuestro país se encuentran desplazados hacia el hemisferio norte debido al movimiento de traslación de la tierra con respecto al sol, así como al ángulo de inclinación del mismo, el cual tiene sus efectos en el intercambio o redistribución de la energía que posteriormente llega a incidir sobre nuestro planeta. Climáticamente, en niveles altos de la troposfera se tiene divergencia en gran parte del Perú, especialmente en la región central y sur. Por otro lado, la señal que permite entender mejor la variación temporal (interanual) del ozono atmosférico es la Oscilación Quasi Bienal (QBO) el cual se presenta en la región tropical ecuatorial con vientos zonales que duran entre 27 y 30 meses. La concentración de vapor de agua va cambiando en niveles bajos de la estratósfera, los cuales llegan a tener una incidencia en las reacciones fotoquímicas que se realizan, el cual induce la variabilidad de las concentraciones de ozono atmosférico.

Asimismo, se tiene que en niveles de baja estratósfera (a nivel de 70 hPa) se ha observado (según el Modelo GFS) la presencia de flujos de viento zonales. Durante las primeras tres semanas el flujo fue mayormente del oeste, mientras que en la última semana tuvo una tendencia bastante variable, dándonos una idea del poco aporte de concentraciones de ozono sobre nuestras latitudes. Estas condiciones trajeron como consecuencia una disminución en las concentraciones de ozono (Figura 2).

Con el fin de reforzar lo descrito, indicar que, del monitoreo realizado en el mes de junio, en superficie, en la estación de Vigilancia Atmosférica Global de Marcapomacocha se observó que el comportamiento horario de la concentración de ozono atmosférico en general, estuvo oscilando entre 238.0 UD y 247.5 UD (UD = Unidades Dobson).

Cabe señalar que en las primeras horas del día las concentraciones de ozono son relativamente altas, en este mes, y a medida que transcurren las horas hasta llegar al mediodía los valores empiezan a disminuir para luego en horas de la tarde volver a incrementarse. A veces el comportamiento es algo variable tanto en la mañana como en la tarde, pero siempre con la misma tendencia (disminuye y luego aumenta).

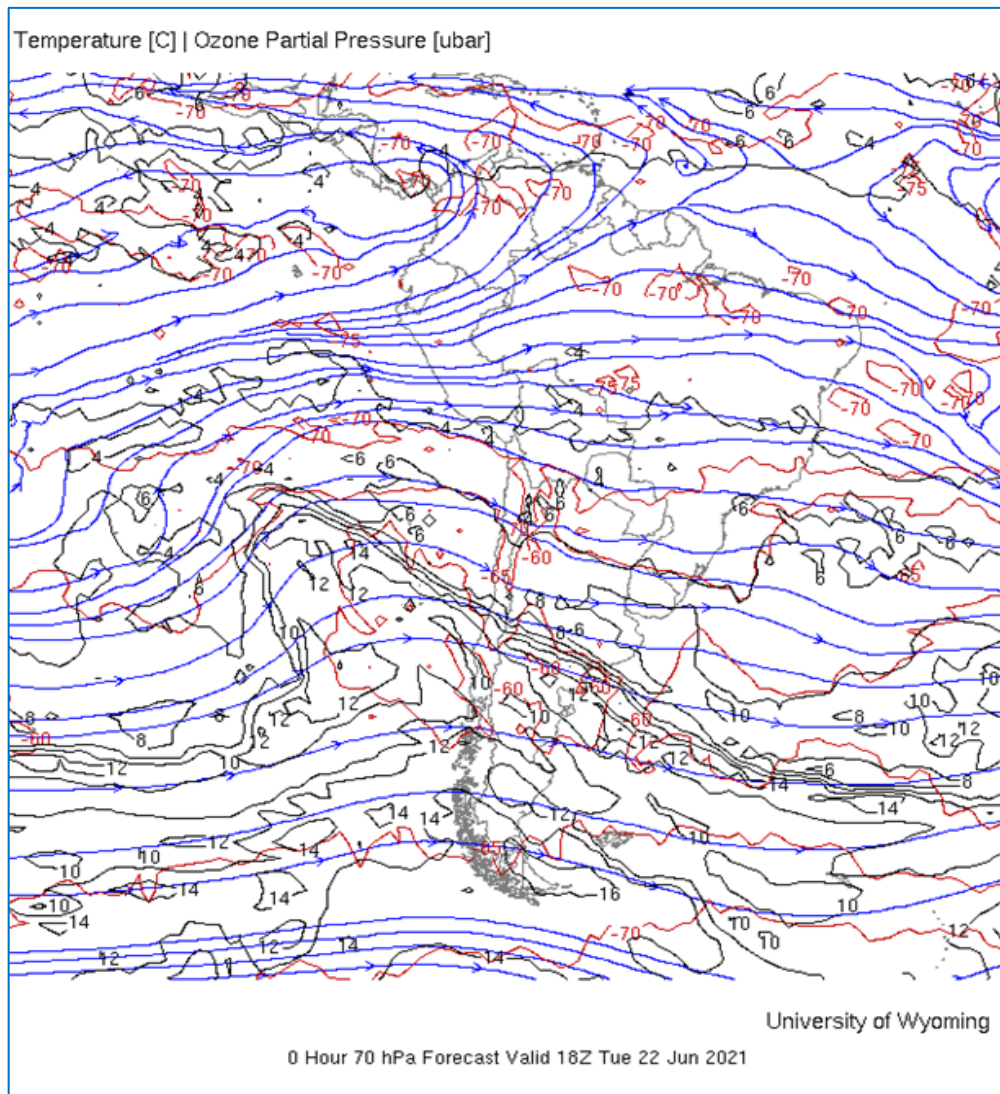
Este proceso físico, se enmarca en que durante las mañanas la incidencia de la radiación ultravioleta es baja y por ende las concentraciones de ozono son relativamente altas, a medida que la intensidad de la radiación ultravioleta se incrementa en forma paulatina hacia el mediodía, donde los valores son moderados a altos (pero mucho menores a los de verano), permite una reducción del ozono y en horas de la tarde a medida que el sol va llegando al ocaso (disminución de la intensidad de la radiación solar) las concentraciones de ozono vuelven a incrementarse. Este comportamiento horario también va a depender de otros factores como los ambientales (efectos residuales de

\*\*\*\*\*

ozono del día anterior a nivel de tropósfera) y meteorológicos (transporte de ozono). Un punto importante a remarcar es el proceso de formación y destrucción del ozono por efectos fotoquímicos, mientras que la intensidad de la radiación solar sea alta, dicha actividad es mayor y viceversa. En el periodo analizado, dado de que en este mes empieza a disminuir la intensidad de la radiación ultravioleta, las reacciones fotoquímicas van empezando a tener menor actividad debido a factores mayormente astronómicos.

## FIGURA N°2

Flujo de masas de aire obedeciendo a un patrón anticiclónico. 22 de junio 2021.

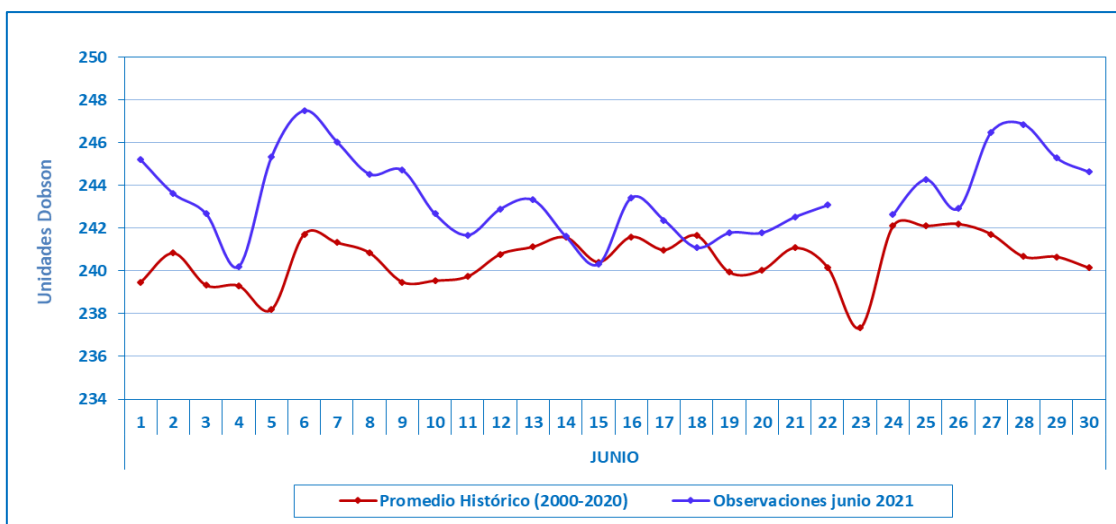


\*\*\*\*\*

Por otro lado, el comportamiento de la concentración de ozono atmosférico promedio diario mensual multianual (2000-2020) del mes de junio oscila entre 237.3 UD y 242.2 UD aproximadamente (Figura 3), mientras que los medidos en el mes de mayo del presente año, oscilaron entre 240.2 UD y 247.5 UD. En la figura se aprecia que los valores registrados estuvieron casi en un 100% por encima de sus valores climáticos. Al comparar ambas series se observa un desfase entre ellos. La tendencia de las concentraciones de ozono sobre nuestro país, con respecto al mes de mayo fue a la disminución. La circulación de vientos zonales son los causantes, en parte, de ese proceso.

**FIGURA °3**

**Comportamiento temporal de la concentración de ozono atmosférico en la Estación VAG Marcapomacocha. Junio 2021.**



En ese aspecto, la climatología del ozono en la estación VAG de Marcapomacocha, permite observar que durante el año se presentan dos picos, uno en el mes de marzo con un valor de 244.5 UD y el otro, mucho mayor, en el mes de setiembre con un valor de 251.3 UD. Por otro lado, los valores bajos de ozono se registran climáticamente en los meses de enero con valores de 242.2 UD y otro entre los meses de mayo y junio con valores de 240.7 UD y 241 UD respectivamente. El promedio mensual de ozono en el presente mes fue de 243.5 UD superior en 2.5 UD al promedio mensual multianual (241.0 UD).

Si bien es cierto que en los meses de verano en la región tropical se forma y destruye más ozono por efecto de la mayor intensidad de la radiación ultravioleta, también es cierto que la circulación de los vientos (a nivel vertical) desde la tropósfera hacia la estratósfera permite el traslado de cantidades de ozono los cuales a lo largo de los meses lo van redistribuyendo hacia latitudes mayores (Circulación Brewer-Dobson), que permite el déficit de ozono atmosférico en latitudes bajas.

En el mes de junio se ha notado, comparándolo con la climatología del ozono, una disminución en las concentraciones de la misma, dando a entender que en la región tropical continúan los flujos de viento zonales en la estratósfera,

\*\*\*\*\*

los cuales inhibieron el traslado de ozono, provenientes de otras latitudes, hacia nuestras regiones. Climáticamente las concentraciones de ozono, disminuyen en los meses de mayo y junio, para luego, por cuestiones de la circulación de los vientos en niveles medios y altos de la estratósfera, así como por los propios procesos fotoquímicos, empiezan a aumentar.

### Perfil Vertical de Ozono Atmosférico

En la figura 4 se muestra el perfil vertical de ozono atmosférico de un día típico del mes de junio, obtenido del Metop-C/GOME-2 tanto para el hemisferio norte como para el hemisferio sur, notándose mayores concentraciones en el primero. Aún no se puede tener acceso a la información del satélite SUOMI para el cálculo del perfil vertical de ozono para la estación VAG Marcapomacocha.

En dicho gráfico se puede observar que la menor concentración de ozono se encuentra en la tropósfera, mientras que en la estratósfera baja y media las mayores concentraciones.

En la región tropical las mayores concentraciones de ozono se encuentran a mayor altitud debido a la baja densidad y dinámica de la atmósfera, así como a procesos convectivos.

Para el caso de nuestro país, concentraciones altas se dan entre los 60 hPa y 10 hPa con valores entre 21 UD y 24 UD.

En los primeros niveles de la atmósfera si bien es cierto que las concentraciones de ozono son bajas, esto se debe a los efectos residuales de la formación del ozono del día anterior. En todo momento siempre quedan cantidades de ozono en las primeras horas del día.

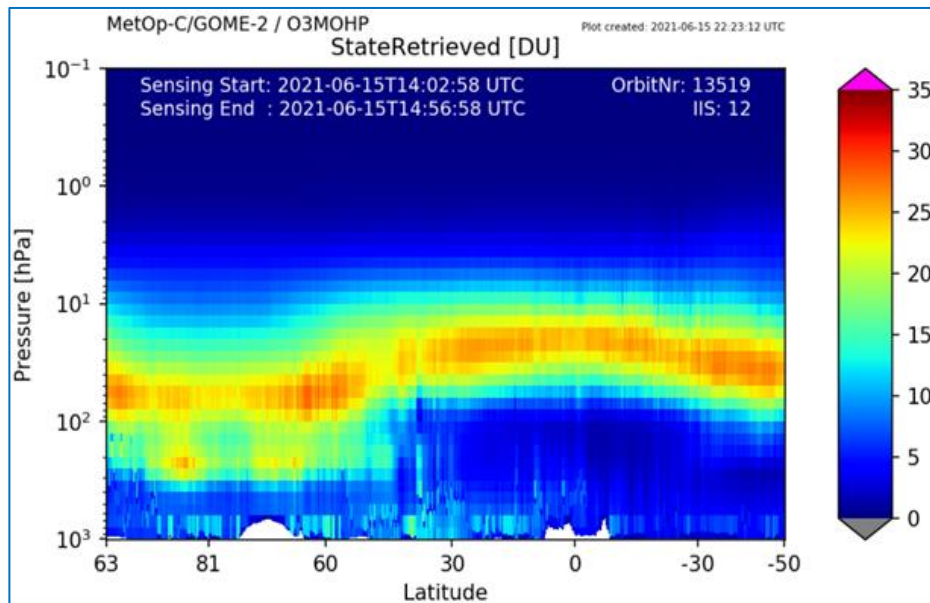
Los valores de ozono son bajos en la tropósfera, altos en la estratósfera baja y media, y bajos en la mesósfera.

Debe considerarse que la forma que adquiere la distribución vertical es típica en la atmósfera, sabiendo que las concentraciones pueden variar de acuerdo a la latitud, estación astronómica y las condiciones meteorológicas, tal como se puede apreciar en la figura 4.

\*\*\*\*\*

FIGURA N°4

Perfil vertical de Ozono – Estación VAG Marcapomacocha



En cuanto a los reportes globales provenientes del satélite se puede mencionar lo siguiente:

En la Figura 5 se observa el mapa climático (1978 – 1988) de ozono total atmosférico global para el mes de junio, mostrando regiones con concentraciones altas (valores algo similares al mes anterior). En el corredor de la región tropical, entre las latitudes 15°N – 30°S aproximadamente las concentraciones de ozono registradas oscilan entre 250 UD y 275 UD.

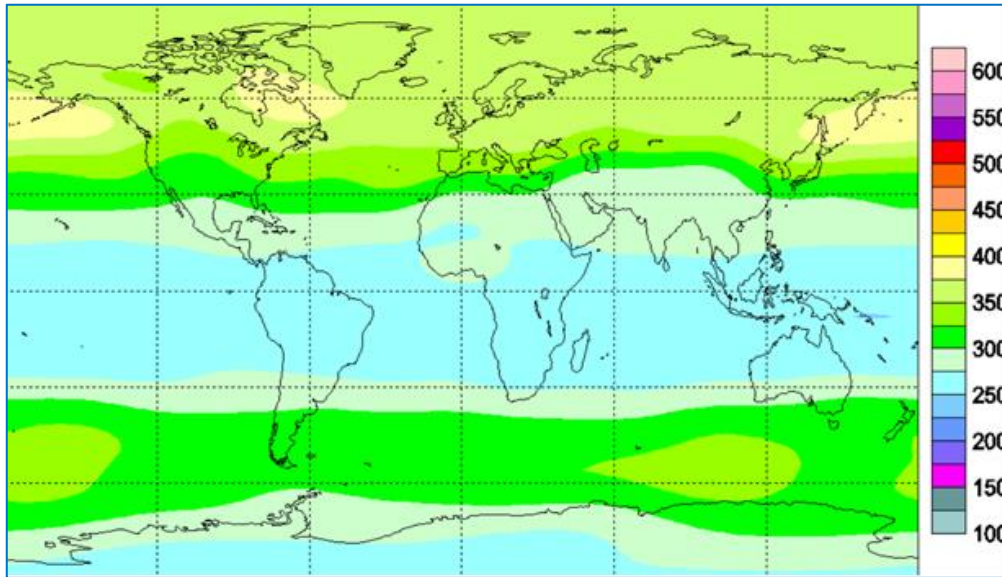
En latitudes medias del hemisferio norte, por encima de los 30° las concentraciones se incrementan (300 UD – 400 UD) hasta aproximadamente los 60°. En latitudes altas, específicamente en la región Ártica, el ozono atmosférico es un poco mayor (350 UD – 400 UD).

En el caso de América del Sur, se observa que entre 34° - 75°S las concentraciones de ozono oscilan entre 300 UD a 350 UD, mientras que, entre 75°S y 90°S mayormente, disminuyen hasta 250 UD (región antártica).

\*\*\*\*\*

**FIGURA N°5**

Mapa Climático de ozono total atmosférico (1978 – 1988) para el mes de junio.



Fuente: <https://exp-studies.tor.ec.gc.ca/clf2/e/normalozone.html#gl>

En la Figura 6, se observa la distribución de ozono a nivel global, correspondiente al mes de junio del presente año y en ella se observan características diferentes al mapa climático. En el hemisferio norte, en gran parte de las latitudes el comportamiento es algo similar al mostrado en el mapa climático.

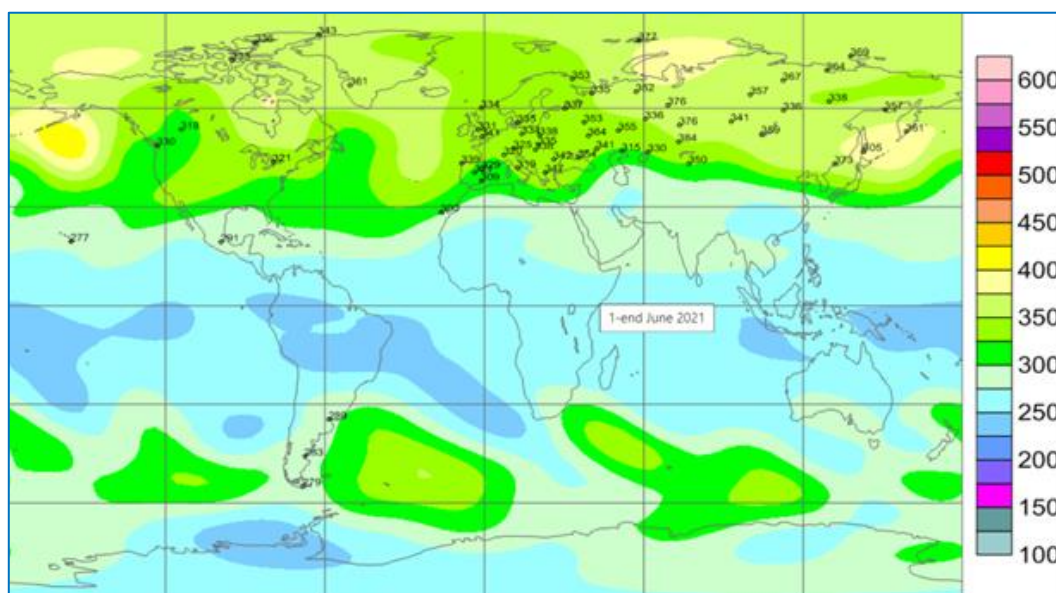
En lo que concierne al hemisferio sur, se registraron regiones en donde las concentraciones estuvieron por debajo de sus valores normales como por ejemplo entre Indonesia y Papúa Nueva Guinea, así como en el Pacífico y Atlántico Sur con valores de 225 UD y 250 UD. En lo que concierne a América del Sur se observan concentraciones bajas (225 UD y 250 UD) en la región central (Perú, Ecuador y Brasil, mayormente).

En total se observan dos grandes núcleos con concentraciones de ozono bajas, bien marcados en el hemisferio austral y tres adicionales, pero con menor cobertura. En el continente Antártico se observa justamente uno de ellos.

\*\*\*\*\*

## FIGURA N°6

Mapa de ozono total atmosférico para el mes de junio 2021



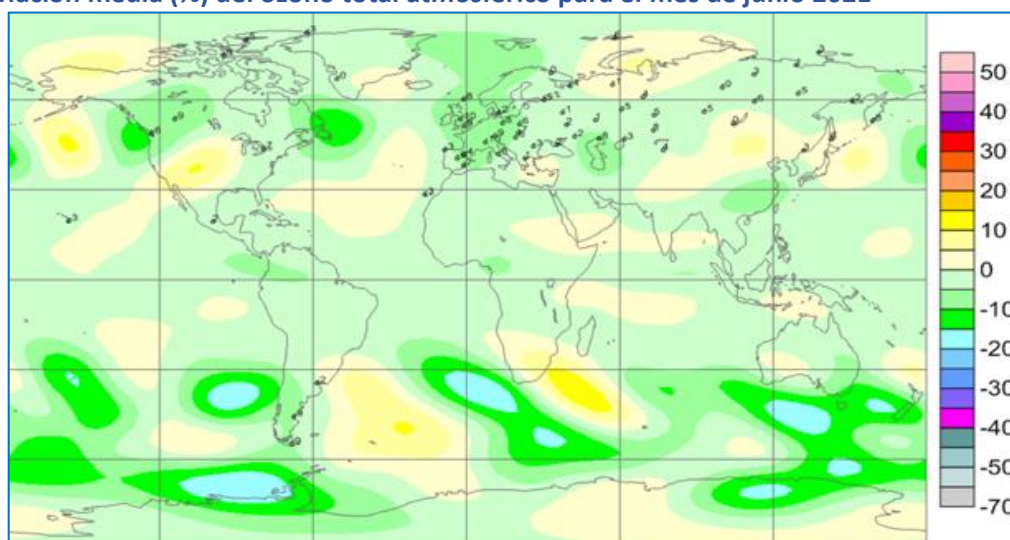
Fuente: <https://exp-studies.tor.ec.gc.ca/clf2/e/normalozone.html#gl>

En cuanto a la desviación media del mes de junio, para el caso de Perú, los valores de ozono estuvieron por debajo de sus valores normales con una desviación de -5% (menor al mes pasado), en todo el país.

En latitudes medias del hemisferio sur, se presentaron 4 núcleos con concentraciones de ozono por debajo de lo normal cuyas desviaciones oscilaron entre -5% y -20%, mientras que en latitudes altas también se tienen dos núcleos con bajas concentraciones los cuales oscilaron entre -10% a -20%. En el Atlántico y Pacífico sur se muestran dos núcleos con concentraciones de ozono por encima de lo normal con valores entre +5% y +15%. Figura 7.

## FIGURA N°7

Desviación media (%) del ozono total atmosférico para el mes de junio 2021



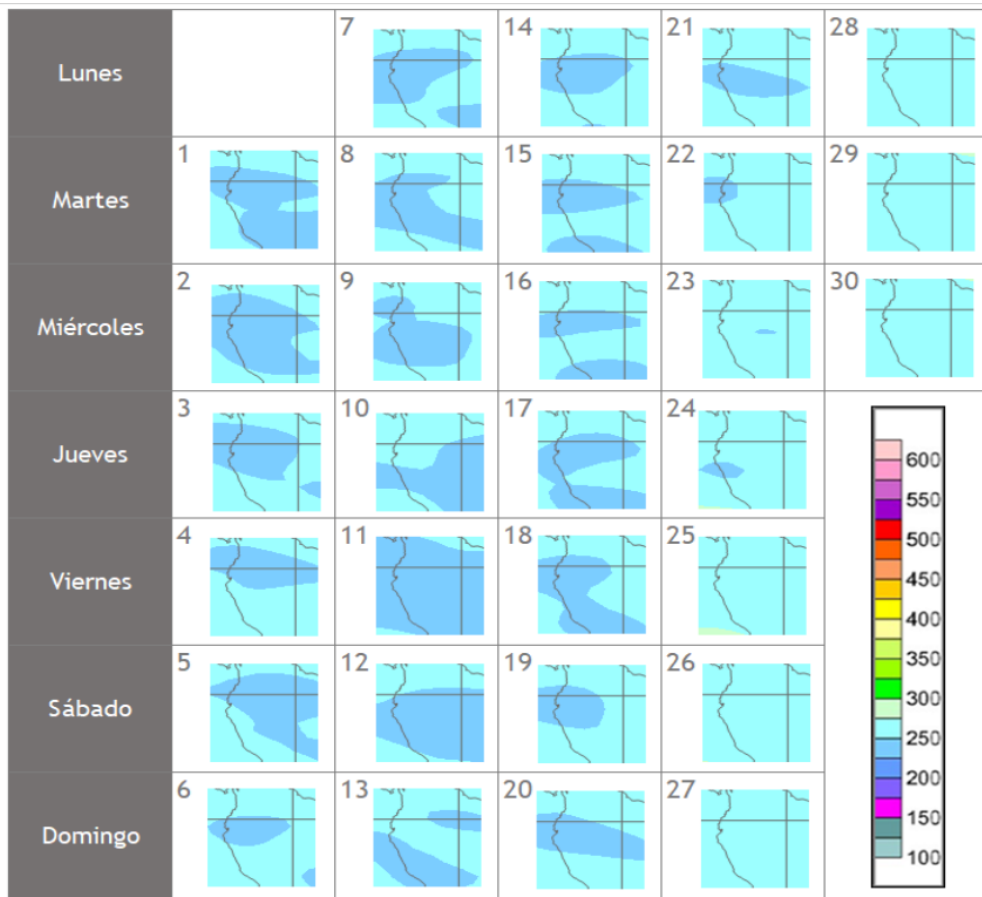
Fuente: <https://exp-studies.tor.ec.gc.ca/clf2/e/normalozone.html#gl>

\*\*\*\*\*

En cuanto al análisis de los mapas en forma diaria provenientes del Centro mundial de datos de ozono y radiación ultravioleta con sede en Canadá (Figura 8), podemos mencionar que, para el caso de nuestro país, las concentraciones de ozono atmosférico fueron bajas en gran parte del mes. Los valores oscilaron entre 225 UD y 250 UD en casi todo el país, durante los días 1, 2, 7, 8, 9, 10, 11, 12, 13, 17 y 18 de junio, mientras que en forma parcial durante los días 3, 4, 5, 6, 14, 15, 16, 17, 18, 19, 20, y 21. A partir de la cuarta semana para adelante, los valores de ozono se incrementaron entre 250 UD y 275 UD.

**FIGURA N°9**

**Mapa diario del ozono total atmosférico para el mes de junio 2021.**



Fuente: <http://exp-studies.tor.ec.gc.ca/cgi-bin/selectMap>

## TEMPERATURA EN LA BAJA ESTRATÓSFERA

Finalmente es importante considerar que lo que pase en la atmósfera baja tiene, a veces, su impacto en la atmósfera alta o viceversa, y para poder entender la variabilidad del ozono atmosférico es importante conocer cómo es el comportamiento temporal de la temperatura en dichos niveles. Por ello se requiere analizar lo que pasa en la atmósfera alta y ver el comportamiento de las temperaturas en la estratósfera baja aproximadamente en los 70 hPa.

\*\*\*\*\*

El que la temperatura aumente o disminuya en la estratósfera va a depender de las concentraciones de sustancias que agotan el ozono, así como de la estacionalidad y la circulación atmosférica.

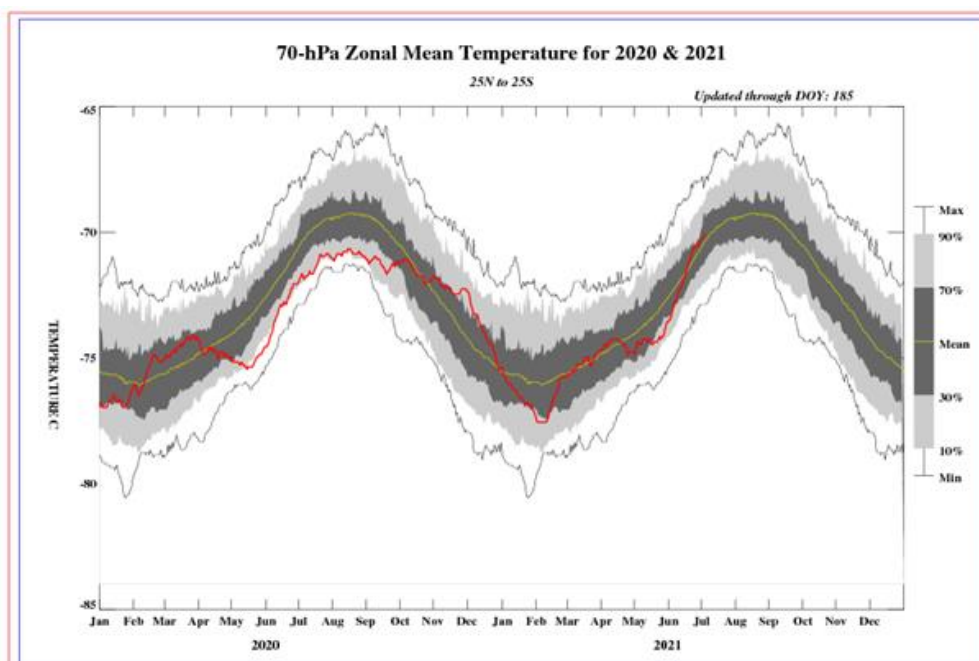
En la Figura 9 se muestra la distribución temporal de la temperatura desde el mes de enero 2020 hasta el mes de junio 2021, al nivel de 70 hPa y entre las latitudes 25°S – 25°N.

Durante los días de registro, la temperatura en ese nivel (línea de color rojo) tuvo un acercamiento a su valor normal (línea de color amarillo), debido a procesos de menor formación de ozono por disminución de temperatura. Cabe mencionar que durante el mes la temperatura en promedio, se mantuvo por debajo de su valor normal (más frío).

La variabilidad de la concentración de ozono en ese nivel asociado a las bajas temperaturas es una consecuencia del movimiento de traslación de la tierra con respecto al sol, así como a procesos de transferencia radiativa y reacciones fotoquímicas. A esto se suma el proceso de la circulación Brewer-Dobson. Se debe tener presente que una disminución de la temperatura en la atmósfera alta, está ligada con la disminución de las concentraciones de ozono y viceversa, los cuales tienen causales, valga la redundancia, físicos y químicos. El valor promedio mensual (1979-2017) de la temperatura en este nivel y para este mes es de  $-71.5^{\circ}\text{C}$ , menor en valor numérico al mes pasado. La temperatura calculada en este mes, fue de  $-72.5^{\circ}\text{C}$ . Como se observa, este enfriamiento de la masa de aire guarda relación con la disminución en las concentraciones de ozono medidos en superficie. Debe recordarse que, durante el año, climáticamente se presentan dos mínimos de ozono, uno en el mes de mayo y el otro en el mes de junio. En el presente mes, como ya anteriormente se ha mencionado, el promedio mensual fue de 243.5 UD menor en 0.3 UD al mes anterior debido al flujo de aire con poco contenido de ozono proveniente del oeste con dirección zonal (oeste a este).

## FIGURA N°9

### Comportamiento de la temperatura en la baja estratósfera para el mes de junio 2021



Fuente: National Weather Service, Climate Prediction Center (Web Site)

\*\*\*\*\*



### III. CONCLUSIONES

1. El mes de junio se caracteriza porque climáticamente las concentraciones de ozono (los medidos en superficie) empiezan a disminuir en forma ligera con respecto al mes de mayo. En el presente mes efectivamente disminuyeron en 0.3 UD con respecto al mes pasado registrando un valor de 243.5 UD como valor promedio, debido al menor aporte de ozono en nuestras latitudes producto de la circulación zonal en la estratósfera baja.
2. En cuanto a la variación temporal (promedio diario) de la concentración de ozono durante el mes, medidos con el espectrofotómetro Dobson en la Estación VAG Marcapomacocha, oscilaron entre 240.2 UD a 247.5 UD, notándose una disminución de los valores con el tiempo. Los valores de las concentraciones de ozono en este mes, son menores al mes pasado debido principalmente a factores de circulación atmosférica, así como a la disminución del régimen térmico, donde las temperaturas al nivel de baja y media estratósfera han continuado registrando una disminución.
3. Con respecto a la distribución vertical del ozono, en la estación VAG Marcapomacocha, según información obtenida por el Metop-C/GOME-2, durante un día típico del mes de junio, se puede concluir que la máxima concentración de la misma se encuentra aproximadamente entre los 60 hPa y los 10 hPa (baja y media estratósfera) con valores de 21 UD y 24 UD. La altura de la máxima concentración de ozono sigue relacionada con la variabilidad de la circulación atmosférica en estas dos subcapas, así como a las variaciones termales (en los meses de mayor enfriamiento hay menor actividad de relación de mezcla en las capas de la atmósfera).
4. Asimismo, siguiendo la distribución vertical del ozono, principalmente a nivel de tropósfera, se observa generalmente que las concentraciones de ozono son bajas (entre 3 UD a 8 UD), los cuales se van incrementando a medida que se asciende hacia la estratósfera. Cabe mencionar que el ozono en superficie es un contaminante atmosférico originado por reacciones fotoquímicas entre los óxidos de nitrógeno y los compuestos orgánicos volátiles. A medida que la intensidad de la radiación solar disminuya los procesos fotoquímicos también lo harán permitiendo menores concentraciones de ozono residual.
5. Los mapas de ozono total atmosférico (elaborados por el Centro Mundial de Datos de Ozono y Radiación Ultravioleta con sede en Canadá), muestran concentraciones muy bajas (225 UD y 250 UD) en casi todo el país durante 11 días, mientras que en 12 días del mes las concentraciones bajas cubrieron solo una parte del país. En los últimos 8 días, las concentraciones se incrementaron, debido a procesos de circulación atmosférica, así como al régimen térmico en la baja y media estratósfera.
6. En lo que concierne al comportamiento de la temperatura en la baja estratósfera (70 hPa) se puede mencionar que, durante el mes de junio, los valores se caracterizaron por un acercamiento a su normal climática, entendiéndose que la atmósfera en ese nivel ha presentado condiciones más frías que lo normal, el cual ha trajo como consecuencia una disminución de la concentración de ozono atmosférico. La variabilidad de la temperatura es uno de factores que ayuda a entender el aumento o disminución del ozono en la atmósfera. En valor promedio mensual de la temperatura (1979-2017) fue de -71.5°C, pero resulta que en este mes se registró un valor promedio de -72.5°C.

\*\*\*\*\*

7. Debido al inicio de la estación de invierno en el hemisferio austral, durante este mes, los niveles de radiación solar han empezado a disminuir mucho más, trayendo como consecuencia que los procesos físicos-químicos en la estratósfera ya no continúen con el mismo comportamiento, siendo otro(s) factor(es) que permite(n) la disminución de las concentraciones de ozono.
8. Se requiere disponer de información real de la concentración de ozono total a nivel del perfil vertical de la atmósfera a fin de realizar el contraste respectivo con lo obtenido por los satélites y determinar la desviación respectiva. En los periodos donde no se tenga información real se podría utilizar el brindado por los satélites aplicando ciertos algoritmos de cálculo.

\*\*\*\*\*

Dirección de Meteorología y Evaluación Ambiental Atmosférica:  
Ing. Gabriela Rosas Benancio  
[grosas@senamhi.gob.pe](mailto:grosas@senamhi.gob.pe)

Subdirección de Evaluación del Ambiente Atmosférico:  
Ing. Jhojan Rojas Quincho  
[jprojas@senamhi.gob.pe](mailto:jprojas@senamhi.gob.pe)

Análisis y Redacción:  
Ing. Orlando Ccora Tuya  
Bach. Juan Tacza Ordoñez  
Tco. Rosalinda Aguirre Almeyda  
Tco. Julia Astudillo Capcha

Próxima actualización: 15 de agosto de 2021

Suscríbete para recibir la edición digital al enlace:

<https://forms.gle/cqZit9WHG7gLktbT6>



Servicio Nacional de Meteorología  
e Hidrología del Perú - SENAMHI  
Jr. Cahuide 785, Jesús María  
Lima 11 - Perú

Consultas y sugerencias:  
[occora@senamhi.gob.pe](mailto:occora@senamhi.gob.pe)